

# آنالیز عددی نویز در لیزر نیمه هادی تک مد

عباس ظریفکار  
استادیار  
مرکز تحقیقات مخابرات ایران

محمد کاظم مروج فرشی  
دانشیار  
دانشگاه تربیت مدرس

وحید احمدی  
استادیار  
دانشگاه تربیت مدرس

## چکیده

در این مقاله معادلات نرخ لج وین حاکم بر رفتار لیزر نیمه هادی تک مد به صورت عددی حل شده و مشخصه های مختلف نویز لیزر از نتایج حل عددی استخراج می گردد. با مد نظر قرار دادن معادلات دینامیکی تصادفی مربوط به میدان و وارونگی جمعیت و با در نظر گرفتن پهروه غیر خطی، تابع خود همبستگی شدت، تغییرات نویز شدت با جریان تزویقی لیزر، طیف نویز شدت، طیف نویز فرکانس، شکل خط و پهنای خط لیزر مورد بررسی قرار می گیرد.

## کلمات کلیدی

لیزر نیمه هادی، نویز، نویز شدت، نویز فاز، شکل خط، آنالیز عددی، منابع لج وین.

## Numerical Analysis of Noise in a Single-Mode Semiconductor Laser

M.K. Moravvej-Farshi  
Associate Professor  
Tarbiat Modarres University

A. Zarifkar  
Assistant Professor  
Iran Telecommunication Research Center

V. Ahmadi  
Assistant Professor  
Tarbiat Modarres University

## Abstract

*In this paper, Langevin rate equations governing the behavior of a single-mode semiconductor laser are solved numerically and various noise characteristics are calculated from the results of numerical solution. Using the stochastic dynamic equations of field and population inversion, including nonlinear gain, we obtain intensity autocorrelation function, intensity noise versus injection current characteristic, intensity and frequency noise spectra, lineshape, and linewidth of laser.*

## Keywords

*semiconductor laser, noise, intensity noise, phase noise, lineshape, numerical analysis, Langevin sources*

## مقدمه

یعنی، داریم:

$$E = \sqrt{P} e^{-i\phi} \quad (2)$$

که در آن  $P$  تعداد فوتونها در داخل ناحیه فعال و  $\phi$  فاز میدان الکتریکی است. در رابطه (۱)،  $\omega_0$  فرکانس لیزر و  $\Omega$  فرکانس مد طولی کاواک است. در حقیقت  $\Omega$  عدم تطابق فرکانس زاویه ای بین مددکاواک و فرکانس نوسان واقعی لیزر است.  $G$  بهره مدد است و اگر چه اغلب تابعی خطی از تعداد  $P$  حامل هادر داخل ناحیه فعال در نظر گرفته می شود اما با  $N$  نیز تغییر می کند. این اثر به عنوان بهره غیر خطی شناخته شده است. به منظور لحاظ کردن اثر بهره غیر خطی، شکل زیر را برای بهره در نظر می گیریم [۵-۶]:

$$G(N, P) = \frac{\Gamma c a}{\mu_g V} (N - N_0) / \sqrt{1 + \frac{P}{P_s}} \quad (3)$$

که در آن  $\Gamma$  ضریب محدودیت مدد است و به وسیله آن، کاهش بهره در نتیجه گسترش مد نوری در خارج از ناحیه فعال، در نظر گرفته می شود. در حقیقت  $\Gamma$  بیانگر کسری از اثری مدد است که در داخل ناحیه فعال قرار دارد.  $c$  سرعت نور در خلا  $c$ ،  $a$  ضریب شکست گروه است.  $\mu_g$  بهره است و از شبیه نمودار بهره خطی برحسب چگالی حامل تزریقی تعیین می شود.  $V$  حجم ناحیه فعال،  $N_0$  تعداد حاملها در داخل ناحیه فعال،  $P_s$  تعداد حامل لازم برای شروع وارونگی جمعیت و  $P$  تعداد فوتون اشباع است. توضیح این نکته لازم است که در توانهای زیاد که نرخ گسیل برانگیخته با معکوس زمان واهلش حاملها در داخل توان، قابل مقایسه می شود، بهره نوری شروع به اشباع شدن می کند، چون حاملها نمی توانند با آن سرعانتری که دینامیک لیزر ایجاب می کند واهلش یابند. در رابطه (۱)،  $\gamma$  نرخ کاهش فوتون و برابر است با:

$$\gamma = v_g (\alpha_m + \alpha_{int}) = \tau_p^{-1} \quad (4)$$

که در آن  $\alpha_m = (1/2L) \ln(1/R_1 R_2)$  تلفات آینده،  $v_g = c/\mu_g$  سرعت گروه،  $L$  طول کاواک و  $R_1$  و  $R_2$  ضرایب انعکاس دیوارهای است.  $\alpha_{int}$  بیانگر تلفات داخلی ناشی از مکانیزم هایی از قبیل جذب حامل آزاد و پراکنش در مرزهای ساختار ناهمجنسب می باشد.  $\tau_p$  نیز طول عمر فوتون در کاواک لیزر است.  $\beta$  ضریب افزایش پهنه ای خط است و به صورت ذیل تعریف می شود [۷ و ۸]:

لیزرهای نیمه هادری به واسطه عواملی از قبیل ابعاد کوچک، توان مصرفی کم و قابلیت مدوله شدن به طور مستقیم، منابع نوری بسیار مناسبی برای سیستم های مخابراتی نوری اند. در شدت و فاز نور خروجی لیزرهای نیمه هادری، حتی به ازای تزریق جریان ثابت، نوساناتی وجود دارد [۱]. گسیل خود به خودی که فرایندی تصادفی است منبع اصلی نویز در لیزرهای نیمه هادری می باشد [۲]. در حقیقت تغییرات تصادفی چگالی فوتون ها منجر به تغییر دامنه توان خروجی لیزر یا نویز شدت می شود. تغییر تصادفی چگالی حامل ها نیز منجر به تغییر طول موج نور خروجی لیزر یا به عبارتی نویز فاز می شود. نویز فاز، تعیین کننده مقدار کمینه پهنه ای خط طیفی مدل لیزش است [۳].

تجزیه و تحلیل رفتار نویزی این گونه لیزرهای لحاظ اثری که بر انتقال اطلاعات یا به عبارتی کارایی سیستم مخابرات نوری دارد، حائز اهمیت بسیار است. هدف این مقاله محاسبه مشخصه های مهم نویز در لیزر نیمه هادری تک مدد با در نظر گرفتن بهره غیرخطی و با استفاده از حل عددی معادلات نرخ تصادفی لنج وین است. بنابراین ابتدا معادلات اساسی استفاده شده در آنالیز را معرفی می کنیم. سپس روش عددی برای انگرال گیری از این معادلات و چگونگی شبیه سازی عددی منابع نویز ذکر می شود. پس از به دست آوردن تغییرات زمانی میدان، تعداد فوتون ها، فاز و تعداد حامل ها، چگونگی محاسبه تابع خود همبستگی شدت، طیف نویز شدت نویز فرکانس، شکل خط و پهنه ای خط را بیان می کنیم.

## ۱- مروری بر معادلات نرخ لنج وین

یکی از روش های معمول تجزیه و تحلیل مشخصه های استاتیک، دینامیک و طیفی لیزرهای نیمه هادری استفاده از معادلات نرخ است. این معادلات بیانگر بر هم کنش میدان الکترومغناطیسی (فوتون ها) و حامل های باردار می باشند. معادله نرخ میدان الکتریکی که با تقریب از معادلات ماکسول به دست می آید عبارت است از [۴]:

$$\frac{dE(t)}{dt} = i(\omega_0 - \Omega) E(t) + \frac{1}{2} (G - \gamma) (1 - i\beta_c) E(t) \quad (1)$$

که در آن  $E(t)$  دامنه مختلط میدان لیزش است و فرض می شود که دارای تغییراتی آهسته است. میدان  $(t)$  طوری نرماییزه شده که کمیتی بدون بعد است و محدود قدر مطلق آن بیانگر تعداد فوتون ها در داخل کاواک لیزر می باشد.

کرد بلکه به منظور بررسی صحیح دینامیک لیزر باید این سهم را در نظر گرفت.

معادلات کوپل شده (۱) و (۶) که برای تعیین تغییرات زمانی میدان (یعنی تغییرات تعداد فوتون ها و فاز) و همچنین تغییرات تعداد حامل ها به کار می روند، طبیعت معیتی دارند. در واقع این دو معادله درباره رفتار نویزی میدان و وارونگی جمعیت، هیچ گونه اطلاقی به ما نمی دهد. بنابراین، برای دست یابی به نوسانات آماری کمیات مورد نظر، معادلات مذکور باید به نحو مناسب اصلاح شوند. بدین منظور، نیروها یا منابع تصادفی لنج وین به طرف دوم این معادلات اضافه شده، معادلات نرخ لنج وین به صورت ذیل بیان می شوند [۴]:

$$\frac{dE(t)}{dt} = i(\omega_0 - \Omega) E(t) + \frac{1}{2} (G - \gamma) (1 - i\beta_c) E(t) + F_E(t) \quad (11)$$

در این روابط،  $F_E(t)$  و  $F_N(t)$  منابع نویز لنج وین اند. از نظر فیزیکی،  $F_E(t)$  از گسیل خودبه خودی ناشی می شود در حالی که  $F_N(t)$  از فرایندهای تولید و ترکیب حامل نشأت می گیرد. این منابع نویز، هر دو گوسی و دارای میانگین صفرند [۴ و ۱۰].  $F_E$ ، مختلط بوده، به صورت  $F_{ER} + iF_{EI}$  در نظر گرفته می شود و  $F_N$ ، حقیقی است. برای  $F_E$  توابع همبستگی ذیل را داریم:

$$\begin{aligned} \langle F_E(t) F_E(t') \rangle &= R_{sp}(\bar{N}) \delta(t-t') \\ \langle F_{ER}(t) F_{EI}(t') \rangle &= 0 \end{aligned} \quad (12)$$

علامت  $\langle \rangle$  بیانگر متوسط مجموعه ای است.  
تابع همبستگی برای  $F_N(t)$  عبارتست از:

$$\langle F_N(t) F_N(t') \rangle = 2 \left[ R_{sp}(\bar{N}) \bar{P} + \gamma_e (\bar{N}) \bar{N} \right] \delta(t-t') \quad (13)$$

توابع همبستگی متقابل منابع نویز  $F_E$  و  $F_N$  عبارتست از:

$$\langle F_{ER}(t) F_N(t') \rangle = \frac{R_{sp}(\bar{N})}{2} \sqrt{\bar{P}} \delta(t-t') \quad (14)$$

$$\langle F_{EI}(t) F_N(t') \rangle = \frac{R_{sp}(\bar{N})}{2} \sqrt{\bar{P}} \delta(t-t') \quad (15)$$

$$\beta_c = \frac{d\chi_r / dN}{d\chi_i / dN} = \frac{\Gamma c}{\mu_g} \frac{\partial \mu / \partial N}{\partial G / \partial N} \quad (5)$$

که در آن  $\chi_r$  و  $\chi_i$  به ترتیب قسمت های حقیقی و موهومی پذیرفتاری الکتریکی محیط نیمه هادی و ملا ضریب شکست ماده نیمه هادی است.

علاوه بر معادله نرخ میدان الکتریکی، به یک معادله نرخ برای وارونگی جمعیت نیز نیاز داریم. وارونگی، به جریان تزریقی I وابسته است. معادله نرخ برای تعداد حامل ها در داخل ناحیه فعال (N) عبارتست از [۱]:

$$\frac{dN}{dt} = \frac{I}{q} - \gamma_e N - GP \quad (6)$$

که در آن  $q$  بار الکترون و  $\gamma_e$  نرخ ترکیب حامل ها در غیاب گسیل برانگیخته است که برابر است با:

$$\gamma_e = (A_{nr} + Bn + Cn^2) = \tau_e^{-1} \quad (7)$$

در رابطه اخیر، نرخ ترکیب  $A_{nr}$  بیانگر ترکیب غیر تشبعشی مربوط به فرایندهایی از قبیل ترکیب سطحی و ترکیب توسط تله ها، B، ضریب ترکیب خود به خودی و C ضریب ترکیب اوژه است.  $n=N/V$  حامل ها در داخل ناحیه فعال و  $\tau_e$  نیز طول عمر حامل است.  
معادلات نرخ برای تعداد فوتون ها و فاز را می توان از جایگذاری (۲) در (۱) به دست آورد. نتیجه، عبارت است از:

$$\frac{dP}{dt} = (G - \gamma) P + R_{sp} \quad (8)$$

$$\frac{d\phi}{dt} = -(\omega_0 - \Omega) + \frac{1}{2} \beta_c (G - \gamma) \quad (9)$$

که در آن  $R_{sp}$  نرخی است که فوتون های گسیل شده به صورت خودبه خودی به فوتون های داخل کاوآک افزوده می شود. این نرخ برابر است با:

$$R_{sp} = \beta_{sp} B \frac{N^2}{V} \quad (10)$$

$\beta_{sp}$ ، ضریبی است که توسط مکانیزم محدودیت جانبی در لیزر تعیین می شود و بیانگر کسری از فوتون های گسیل شده به صورت خودبه خودی است که در مدلینش وارد می شوند.  
از سهم گسیل خودبه خودی در مدلینشی، نمی توان صرفنظر

می‌گیریم:

$$P = \frac{R_{sp}}{\gamma - G} \quad (20)$$

$$\gamma_e N + GP = \frac{I}{q} \quad (21)$$

با جایگذاری روابط (۷)، (۱۰)، (۱۹) و (۲۰) در رابطه (۲۱)، معادله درجه چهارم زیر بر حسب  $N$  به دست می‌آید:

$$\begin{aligned} & -\frac{qCG_N}{V^2} N^4 + \left[ \frac{qC\gamma}{V^2} + \frac{qCG_N N_0}{V^2} + (\beta_{sp}-1) \frac{qBG_N}{V} \right] N^3 \\ & + \left[ \frac{qB\gamma}{V} - qA_{nr} G_N + (1-\beta_{sp}) \frac{qBG_N N_0}{V} \right] N^2 \\ & + (q\gamma A_{nr} + qA_{nr} G_N N_0 + IG_N) N - (I\gamma + IG_N N_0) = 0 \end{aligned} \quad (22)$$

ابتدا با حل این معادله به ازای مقادیر مختلف جریان تزریقی  $I$ ، تعداد حامل‌ها در داخل ناحیه فعال یعنی  $N$  به دست می‌آید. سپس با استفاده از رابطه (۲۰) تعداد فوتون‌ها ( $P$ ) محاسبه می‌شود. از مقادیری که به این طریق معادلات (۱۷) و (۱۸) استفاده می‌شود، شایان ذکر است که توان خروجی از هر یک از دیواره‌های لیزر با رابطه ذیل به

$$P_{out} = \frac{1}{2} h \omega_q v_g \alpha_m P \quad (23)$$

$$\text{که در آن } \bar{h} = \frac{h}{2\pi} \text{ و } h \text{ ثابت پلانک است.}$$

شکل ۱ تغییر توان خروجی و تغییر تعداد حامل‌ها بر حسب جریان تزریقی  $I$  را برای لیزری با ساختار هدایت شده با ضریب شکست (index-guided) با استفاده از پارامترهای جدول ۱ نشان می‌دهد.

همانطور که در شکل ذیل می‌شود وقتی جریان به حدود ۱۲ میلی‌آمپر می‌رسد،  $P$  یا به عبارتی توان خروجی سریعاً شروع به افزایش می‌کند. این جریان، جریان آستانه لیزر نامیده می‌شود. تغییر شیب ناگهانی منحنی در مجاورت آستانه نشان دهنده این موضوع است که گسیل برانگیخته بر کسیل خودبه خودی غالب شده است. در نزدیکی آستانه در

در روابط (۱۶) تا (۱۴)  $\bar{N}$  و  $\bar{P}$  به ترتیب بیانگر مقادیر متوسط حالت پایدار تعداد حامل‌ها و فوتون‌های در داخل ناحیه فعال اند.

به منظور به دست آوردن نوسانات مدلیزr باید از معادلات دیفرانسیل تصادفی (۱۱) و (۱۲) به صورت عددی انتگرال گیری کنیم. یعنی با استفاده از شرایط اولیه معین، تغییرات زمانی میدان و نیز تغییرات تعداد حامل‌ها را دنبال می‌کنیم. به منظور لحاظ کردن منابع نویز لنجد وین، نوسانات تصادفی را در هر پله زمانی انتگرال گیری وارد می‌کنیم. از آنجا که این کار مستلزم داشتن توابع همبستگی منابع نویز است و این توابع نیز بر طبق روابط (۱۶) تا (۱۴) به مقادیر متوسط حالت پایدار بستگی دارند، بنابراین ابتدا باید این مقادیر را محاسبه کنیم.

## ۲- محاسبه مقادیر متوسط در حالت پایدار

به منظور به دست آوردن مقادیر متوسط در حالت پایدار باید مشتقات زمانی در معادلات نخ بدون منابع لنجد وین یعنی معادله‌های (۶)، (۸) و (۹) را برابر صفر قرار داد. در این صورت با استفاده از روابط (۳)، (۷) و (۱۰) نتیجه می‌گیریم:

$$\frac{\Gamma c a (N - N_0) P}{\mu_g V \sqrt{1+P/P_s}} - \gamma P + \beta_{sp} B \frac{N^2}{V} = 0 \quad (17)$$

$$\frac{I}{q} - A_{nr} N - B \frac{N^2}{V} - C \frac{N^3}{V^2} - \frac{\Gamma c a (N - N_0) P}{\mu_g V \sqrt{1+P/P_s}} = 0 \quad (18)$$

از حل دستگاه معادلات (۱۷) و (۱۸) مقادیر متوسط در حالت پایدار را به دست می‌آید. حل این دستگاه معادلات غیر خطی را به روش نیوتون انجام می‌دهیم [۸]. همگرایی روش نیوتون مستلزم انتخاب تقریب اولیه مناسب برای  $N$  و  $P$  است. به علاوه دستگاه معادلات مورد بحث شدیداً غیر خطی است و همین مسأله نیز همگرایی روش رادچار مشکل می‌کند. به منظور به دست آوردن تقریب اولیه مناسب برای حل این دستگاه، از وابستگی بهره به تعداد فوتون‌ها صرفنظر کرده و بهره را به صورت زیر در نظر می‌گیریم:

$$G(N) = G_N (N - N_0) \quad (19)$$

که در آن  $G_N = \Gamma c a / \mu_g V$  است. از رابطه‌های (۶) و (۸) در حالت پایدار نتیجه

اولیه برای انتگرال گیری عددی از معادلات نرخ لنج وین به کار می‌گیریم. روشی که در اینجا برای انتگرال گیری عددی از معادلات دیفرانسیل تصادفی استفاده می‌شود، روش رانج-کوتا (Runge-Kutta) مرتبه چهارم است [۸]. در پیاده‌سازی این روش، پله زمانی را  $5 \text{ psec}$  و تعداد آنها را بین ۱۰۰۰ تا ۴۰۰۰ در نظر می‌گیریم یعنی انتگرال گیری بر روی بازه زمانی ۵۰ تا ۲۰۰ نانوثانیه انجام می‌شود. برای اینکه متوجه‌های آماری که از محاسبات به دست می‌آیند دقت مناسبی داشته باشند لازم است که ۱۰ تا ۵۰ بار انتگرال گیری عددی را انجام دهیم. منابع نویز در معادلات نیز با تولید اعداد تصادفی با توابع همبستگی روابط (۱۲) تا (۱۶) شبیه سازی می‌شوند. یعنی در هر پله انتگرال گیری، اعداد تصادفی گوسی با واریانس مناسب به طرف دوم معادلات نرخ اضافه می‌شوند. این روش که تحت عنوان روش مونت کارلو شناخته می‌شود، مقداری میدان (یا شدت و فاز) و نیز تعداد حامل‌ها را در هر پله زمانی به دست می‌دهد. در اینجا لازم است که در خصوص نحوه وارد کردن اعداد نویز مناسب در هر پله زمانی در معادلات نرخ صحبت کنیم. از رابطه (۱۴) داریم:

$$\langle F_N(t) F_N(t') \rangle = 2 \left[ R_{sp}(\bar{N}) \bar{P} + \gamma_e(\bar{N}) \bar{N} \right] \delta(t-t') = V_N^2 \delta(t-t') \quad (24)$$

که در آن  $V_N^2$  واریانس  $F_N$  می‌باشد. از آنجاکه در انتگرال گیری عددی از معادلات نرخ لنج وین لازم است که توابع ببروی فواصل زمانی گستره  $\Delta t$  ملاحظه شود لذا می‌توان نوشت [۱۰]:

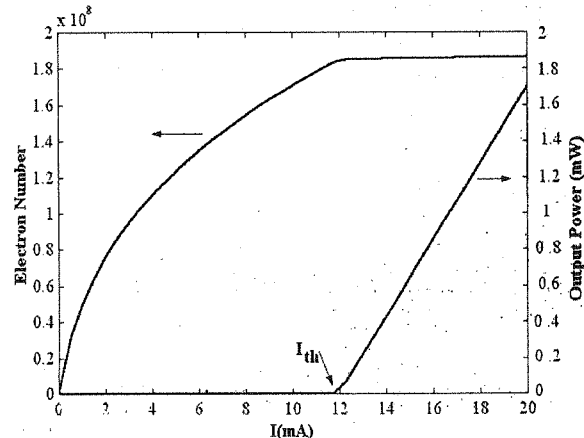
$$\langle F_N(t) F_N(t') \rangle = \begin{cases} \frac{1}{\Delta t} V_N^2 & |t - t'| < \Delta t \\ 0 & |t - t'| > \Delta t \end{cases} \quad (25)$$

بنابراین می‌توان تابع تصادفی  $F_N$  را در هر بازه زمانی مشخص  $\Delta t$  به صورت زیر بیان کرد:

$$F_N = \frac{V_N}{\sqrt{\Delta t}} X_1 \quad (26)$$

در این رابطه  $X_1$  یک متغیر تصادفی گوسی با میانگین صفر و واریانس یک است. برای تولید متغیرهای تصادفی  $F_{ER}$  و  $F_{EI}$  فرض می‌کنیم که:

یک گستره کوچک جریان، توان خروجی به سرعت تغییر می‌کند. تغییر تعداد حامل  $N$  بر حسب جریان  $I$  نشان می‌دهد که بالاتر از آستانه  $N$  تقریباً ثابت است و با افزایش جریان، افزایش چندانی پیدا نمی‌کند. به بیان دیگر بالاتر از آستانه، یک تغییر کوچک در  $N$  یا به عبارت دیگر  $G$  منجر به یک تغییر بزرگ در  $P$  می‌شود.



شکل (۱) تغییرات توان خروجی لیزر و تغییرات تعداد حامل‌ها در داخل ناحیه فعلی بر حسب جریان تحریقی.

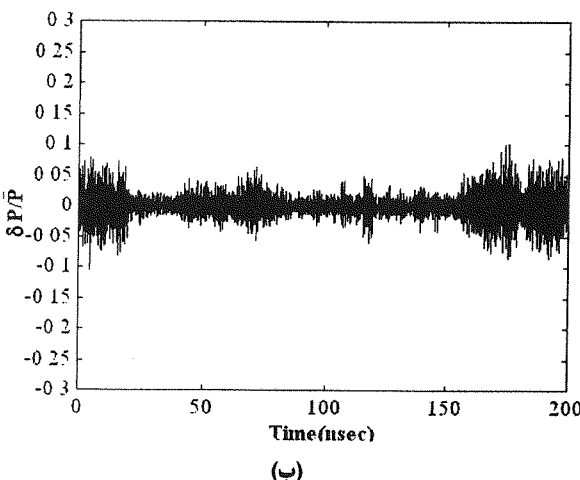
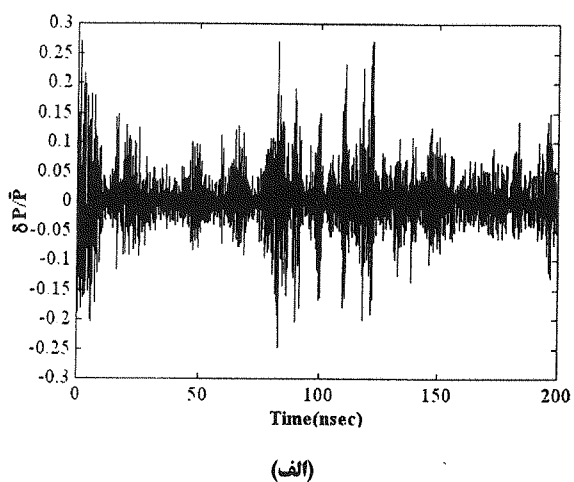
جدول (۱) مقادیر پارامترها برای لیزری با ساختار هدایت شده با ضریب

شکست از جنس  $\text{In}_{0.63} \text{Ga}_{0.37} \text{As}_{0.82} \text{P}_{0.18}$   
با طول موج  $1550 \text{ nm}$ .

نام پارامتر	نماد	مدار
طول کاراک	$L$	$250 \mu\text{m}$
عرض ناحیه فعل	$w$	$2 \mu\text{m}$
ضخامت ناحیه فعل	$d$	$0.2 \mu\text{m}$
ضریب محدودیت	$\Gamma$	$0.4$
ضریب شکست گروه	$\mu_R$	$4$
ضریب افزایش پهنای خط	$\beta_e$	$5$
ضریب گسل خود به خودی	$\beta_{sp}$	$4 \times 10^{-5}$
تلقات دیواره	$\alpha_m$	$45 \text{ cm}^{-1}$
تلقات داخلی	$\alpha_{mm}$	$40 \text{ cm}^{-1}$
ضریب بهره	$a$	$2.5 \times 10^{-16} \text{ cm}^2$
تعداد حاملها برای شروع وارونگی	$N_0$	$10^8$
ضریب ترکیب غیر تشعشعی	$A_{mr}$	$6.7 \times 10^7 \text{ s}^{-1}$
ضریب ترکیب تشعشعی	$B$	$0.9 \times 10^{-10} \text{ cm}^3/\text{s}$
ضریب ترکیب اوزه	$C$	$5 \times 10^{-29} \text{ cm}^6/\text{s}$

**۳- انتگرال گیری عددی از معادلات نرخ لنج وین**  
از آنجاکه هدف ما به دست آوردن نوسانات لیزر حول حالت پایدار است پس از محاسبه مقادیر متوسط شدت مد و وارونگی جمعیت در حالت پایدار، این مقادیر را به عنوان شرایط

که در آن  $\sigma^2$  واریانس تغییرات تعداد فوتون هاست، محاسبه کنیم به ازای جریان های  $19, 14$  و  $24$  میلی آمپر به ترتیب مقادیر  $95/9, 33/6$  و  $19$  به دست می آید که نشان دهنده باریک ترشدن توزیع احتمال تعداد فوتون ها می باشد.



شکل (۲) نسبت نوسانات تعداد فوتون ها به مقدار متوسط تعداد فوتون ها در حالت پایدار به ازای دو جریان تزریقی مختلف،  $I=19mA$  و  $I=14mA$

#### ۴- نویز شدت

در این قسمت، نتایج بدست آمده در مورد نویز شدت، بیان و تجزیه و تحلیل می شود. چندین معیار مختلف در خصوص نویز شدت وجود دارد که هر یک در بردارنده اطلاعاتی درباره جنبه های متفاوت رفتار نویزی لیزر اند. یکی از این معیارها،تابع خود همبستگی ( $C_{pp}$ ) است که توصیف کننده نویز در دامنه زمان می باشد. تغییرات زمانی تعداد فوتون های گسیل شده از لیزر ( $P$ ) را می توان به صورت زیر نوشت:

$$F_N = \frac{V_N}{\sqrt{\Delta t}} x_1 = a_{11} x_1 \quad (27)$$

$$F_E = a_{21} x_1 + a_{22} x_2 \quad (28)$$

$$F_{ER} = a_{31} x_1 + a_{32} x_2 + a_{33} x_3 \quad (29)$$

در این روابط  $x_1, x_2$  و  $x_3$  متغیرهای تصادفی گوسی مستقل با میانگین صفر و واریانس یک آندا. با مشخص بودن  $a_{11} = V_N / \sqrt{\Delta t}$ ، دیگر ضرایب  $a$  را طوری تعیین می کنیم که روابط (۱۳)، (۱۵) و (۱۶) را ارضا کنند. نتیجه، عبارت است از:

$$a_{21} = a_{31} = a_{22} = \frac{R_{sp}}{2V_N \sqrt{\Delta t}} \sqrt{\bar{P}}$$

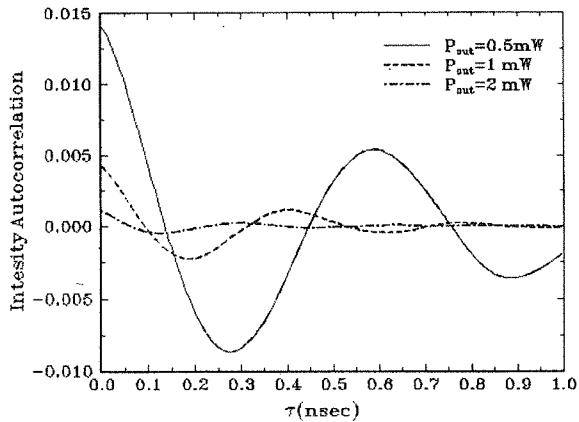
$$a_{32} = -a_{21}$$

$$a_{33} = \frac{\sqrt{R_{sp}}}{\sqrt{\Delta t}} \quad (30)$$

با در نظر گرفتن ضرایب  $a$  به شکل فوق و تولید اعداد تصادفی گوسی  $x_1, x_2$  و  $x_3$ ، منابع نویز  $F_N$  و  $F_E$  ساخته می شوند. به این ترتیب با تولید اعداد تصادفی مناسب و انگرال گیری از معادلات درخ لنج وین به روشنی که در ابتدای این بخش توضیح داده شد تغییرات میدان (یعنی تغییرات تعداد فوتون ها و فاز) و همچنین تغییرات تعداد حامل ها بر حسب زمان محاسبه می شود. با استفاده از نتایج محاسبات، در شکل های ۲ (الف) و (ب) نسبت نوسانات تعداد فوتون ها ( $\delta P$ ) به مقدار متوسط تعداد فوتون هادر حالت پایدار ( $\bar{P}$ ) به ازای دو جریان تزریقی مختلف نشان داده شده است. دیده می شود که نوسانات شدت ناشی از نویز، برای نقطه کار نزدیک به آستانه شدیدتر است. در توجیه این رفتار باید گفت که در نزدیکی آستانه، گسیل خودبه خودی که منشأ نویز است با گسیل برانگیخته قابل مقایسه است اما هر چه از آستانه بالاتر می رویم غلبه گسیل برانگیخته، بیشتر و آثار نویز ضعیف تر می شود.

با استفاده از تغییرات زمانی تعداد فوتون ها می توان چگالی احتمال تعداد فوتون ها را محاسبه کرد. نتایج حاصل از حل عددی نشان می دهد که پایینتر از آستانه، چگالی احتمال تعداد فوتون ها به صورت توزیع بوز-اینشتین است و با افزایش جریان تزریقی به مقادیر بالاتر از جریان آستانه، به صورت توزیع پواسن در می آید. چنانچه مقدار  $\bar{P}/\sigma^2$  را

معیاری از شباهت مقادیر تابع  $\delta P(t)$  در لحظات  $t$  و  $t+\tau$  است، در واقع میل کردن سریعتر ( $C_{pp}$ ) به صفر، بدین معنی است که به ازای یک  $\tau$  مشخص، شباهت بین مقادیر در لحظات  $t$  و  $t+\tau$  کمتر است و این به مفهوم تغییرات سریعتر سیگنال تصادفی ( $\delta P(t)$ ) است یعنی در توان های بالاتر، مؤلفه های فرکانسی بالا در سیگنال نویزی، بزرگتر می باشند. نتایج به دست آمده از حل عددی توافق خوبی را با نتایج تحلیلی به دست آمده از خطی سازی معادلات نرخ در مرجع [۱۱]، از خود نشان می دهند.



شکل (۳) تابع خودهمبستگی شدت به ازای سه توان خروجی مختلف.

تابع خود همبستگی به ازای  $\tau=0$  واریانس نویز را نتیجه می دهد یعنی:

$$C_{pp}(0) = \frac{\sigma^2}{P^2} \quad (۳۴)$$

که در آن  $\sigma^2$  واریانس نویز است.

نسبت سیگنال به نویز (SNR) نور لیزر را که معیار دیگری از نویز شدت لیزر است، می توان به صورت ذیل تعریف نمود [۱]:

$$SNR = \frac{1}{\sqrt{C_{pp}(0)}} \quad (۳۵)$$

در شکل ۴، تغییر SNR بر حسب توان خروجی لیزر برای حالات بهره خطي و نیز بهره غير خطي به ازای سه مقدار مختلف توان اشباع، نشان داده شده است. همانطور که دیده می شود چنانچه ویژگی غير خطي بودن بهره در نظر گرفته نشود SNR با افزایش توان لیزر به بهبود خود ادامه می دهد اما بهره غير خطي منجر به اشباع SNR می شود. مقدار اشباع توسط  $P_s$  تعیین می شود و به ازای مقادیر کمتر توان اشباع، کوچکتر است. نتایج به دست آمده، با نتایج تحلیلی

$$P(t) = \bar{P} + \delta P(t) \quad (۳۱)$$

که در آن  $\delta P(t)$  بیانگر نوسانات نسبت به مقدار متوسط در حالت پایدار می باشد. تابع خودهمبستگی به صورت ذیل تعریف می شود [۱]:

$$C_{pp}(\tau) = \frac{\langle \delta P(t) \delta P(t + \tau) \rangle}{\bar{P}^2} \quad (۳۲)$$

این رابطه بیان می دارد که برای به دست آوردن تابع خودهمبستگی باید مقادیر انحراف نسبت به مقدار متوسط در حالت پایدار را با در نظر گرفتن تأخیر های زمانی مختلف بر روی کل محدوده زمانی انتگرال گیری در هم ضرب کرده و سپس متوسط گیری کنیم. برای داشتن دقت کافی در مقدار تابع خود همبستگی باید طول مسیرهای زمانی انتگرال گیری چندین برابر از بیشترین زمان تأخیری که تابع به ازای آن محاسبه می شود بزرگتر باشد. در انجام محاسبات، طول کل مسیر یعنی  $T$  برابر با  $100$  نانو ثانیه و بیشترین مقدار  $\tau$  برابر با  $1$  نانو ثانیه در نظر گرفته شده است. به منظور محاسبه رابطه اخیر از نتایج حل عددی داریم:

$$C_{pp}(\tau) = \frac{\sum_n \delta P(t_n + \tau) \delta P(t_n) \Delta}{T \bar{P}^2} \quad (۳۳)$$

که در آن  $\Delta$  پله زمانی انتگرال گیری است و برابر با  $5\text{psec}$  در نظر گرفته می شود.

در شکل ۳، تابع خود همبستگی به ازای سه توان خروجی مختلف نشان داده شده است.  $C_{pp}(\tau)$  رفتاری نوسانی دارد که ناشی از نوسانات واهلش می باشد. توضیح اینکه هنگامی که جریان تزریقی لیزر به طور ناگهانی به مقداری بالاتر از آستانه پرش می کند تعداد فتوون ها و حامل هادر داخل ناحیه فعال پیش از رسیدن به حالت پایدار، نوسانات تناوبی مستهلك شونده ای را از خود نشان می دهند. این نوسانات تحت عنوان نوسانات واهلش شناخته می شود و ناشی از تشدید ذاتی در لیزر، که یک سیستم غیر خطی است می باشد. تشدید ذاتی به این معنی است که انرژی ذخیره شده در سیستم بین الکترون ها و فتوون ها نوسان می کند. فرکانس و نرخ کاهش نوسانات واهلش نقش مهمی را در تعیین پاسخ گذراي لیزر ایفا می کنند. روابط تحلیلی برای فرکانس و نرخ کاهش نوسانات واهلش با در نظر گرفتن بهره غير خطی در مرجع [۶] آمده است. همانطور که در شکل دیده می شود، در توان های بالاتر،  $C_{pp}(\tau)$  سریعتر به صفر می کند. با توجه به اینکه تابع خودهمبستگی ( $C_{pp}(\tau)$ )

براساس قضیه وینر-خینچین (Wiener-Khintchine) می‌توانیم برای یک فرایند تصادفی ایستان، RIN را به صورت زیر بیان کنیم:

$$RIN(\omega) = \frac{\left\langle \left| \int_{-\infty}^{+\infty} \delta P(t) e^{-i\omega t} dt \right|^2 \right\rangle}{P^2} = \frac{\langle |\delta P(\omega)|^2 \rangle}{P^2} \quad (37)$$

که در آن  $\delta P(\omega)$  تبدیل فوریه  $\delta P(t)$  است.

برای محاسبه RIN از نتایج حل عددی، از رابطه زیر استفاده می‌کنیم [۴]:

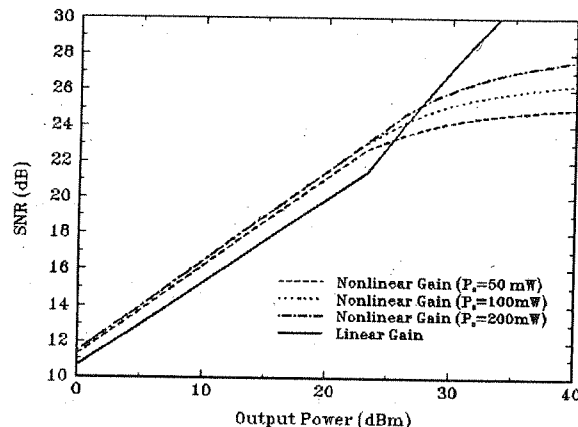
$$RIN(\omega) = \frac{1}{T} \frac{\left| \sum_n \delta P(t_n) e^{-i\omega t_n} \Delta \right|^2}{P^2} = \frac{\Delta^2}{TP} \left| \text{FFT}(\delta P(t_n)) \right|^2 \quad (38)$$

منظور از  $\text{FFT}(\delta P(t_n))$ ، تبدیل فوریه سریع (Fast Fourier Transform) تغییر تعداد فوتون‌ها نسبت به مقدار متوسط در حالت پایدار است.

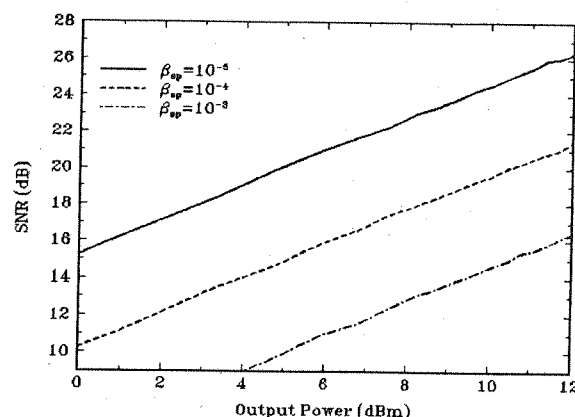
بنابراین برای محاسبه FFT، RIN یک مسیر زمانی مربوط به تعداد فوتون‌ها را به دست آورده و از رابطه قبل استفاده می‌کنیم. عدم قطعیت RIN محاسبه شده به این طریق را می‌توان با مت渥سط گیری بر روی تعداد زیادی مسیر، کاهش داد. در استفاده از FFT برای محاسبه طیف، فرکانس نایکوییست  $f_c = 1/2\Delta$  تعیین کننده بالاترین فرکانس طیف است. وقت فرکانسی حاصل از حل عددی نیز با رابطه  $\Delta f = 1/N_s \Delta$  مشخص می‌شود که در آن  $N_s$  تعداد کل پله‌های زمانی در هر مسیر انتگرال گیری است. در شکل ۶، RIN به ازای چند توان خروجی مختلف نشان داده شده است. به ازای یک توان خروجی مشخص، در فرکانس‌های پایین، نویز نسبتاً کم است و در فرکانس نوسانات واهلش به واسطه تشدید ذاتی لیزر، نویز به بیشترین مقدار خود می‌رسد. به ازای فرکانس‌های بیش از فرکانس نوسانات واهلش، نویز به سرعت کاهش می‌یابد. رفتار مشاهده شده، با نتایج تحلیلی [۱۸] و نتایج تجربی [۱۲] همخوانی دارد. به علاوه همانطور که از منحنی متاظر با توان  $5/5$  میلی وات دیده می‌شود، هنگامی که لیزر نزدیک به آستانه عمل می‌کند قله مربوط به نوسانات واهلش در فرکانس کمتری واقع می‌شود و مقدار آن نیز بزرگتر است. این همان رفتاری است که با توجه به نتایج تحلیلی [۶] انتظار می‌رود. در حقیقت با کاهش جریان تزریقی و نزدیک شدن به آستانه، فرکانس نوسانات واهلش کاهش

مرجع [۱۸] همخوانی دارد.

در شکل ۵، تغییر SNR بر حسب توان خروجی، برای سه مقدار مختلف  $\beta_{sp}$  نشان داده شده است. در شکل، مشاهده می‌شود که با افزایش  $\beta_{sp}$  یا به عبارتی نرخ گسیل خودبه خودی، SNR کاهش می‌یابد زیرا همانطورکه پیش از این نیز بیان شد گسیل خودبه خودی، منبع اصلی نویز در لیزر نیمه هادی است.



شکل (۴) تغییر SNR بر حسب توان خروجی لیزر برای بهره خطي و به ازای سه مقدار مختلف نویز اشباع برای بهره غیر خطی.



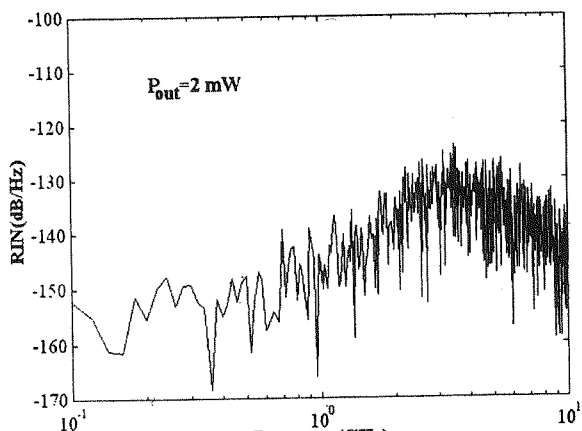
شکل (۵) تغییر SNR بر حسب توان خروجی لیزر به ازای سه مقدار مختلف برای ضریب گسیل خود به خودی.

همیت مهم دیگری که محتوای فرکانسی نوسانات شدت را مشخص می‌کند، نویز شدت نسبی (Relative Intensity Noise  $\equiv RIN$ ) است که به صورت زیر برحسب تبدیل فوریه تابع خود همبستگی تعریف می‌شود:

$$RIN(\omega) = \frac{\int_{-\infty}^{+\infty} \langle \delta P(t) \delta P(t + \tau) \rangle e^{-i\omega\tau} d\tau}{P^2} \quad (36)$$

می یابد و به علاوه به دلیل قابل توجه بودن نرخ گسیل خود به خودی، نویز بیشتری مشاهده می شود.

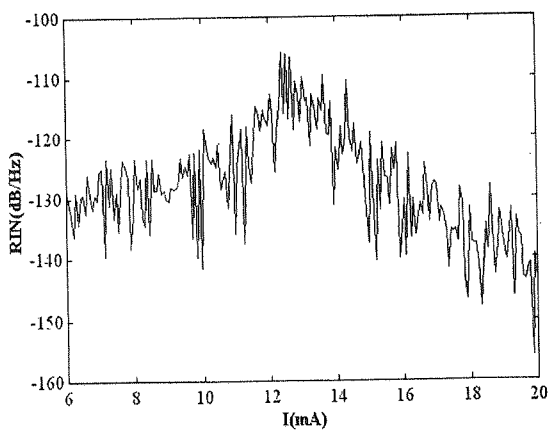
از جنبه دیگری نیز می توان نویز شدت را مورد توجه قرار داد. چنانچه به ازای یک فرکانس مشخص، RIN را بر حسب جریان تزریقی لیزر محاسبه کنیم، مشاهده می شود که نویز شدت در نزدیکی آستانه لیزر به بیشترین مقدار خود می رسد و سپس با افزایش جریان تزریقی به سرعت کاهش می یابد. چنین رفتاری در شکل ۷ (الف) دیده می شود و به طور تجربی نیز مشاهده شده است [۲]. از نظر فیزیکی نیز علت این مسئله این است که با افزایش جریان تزریقی لیزر از مقدار صفر، هر چه به آستانه نزدیکتر می شویم نرخ گسیل خود به خودی که منشأ نویز است بیشتر می شود و پس از گذشت آستانه تقریباً ثابت می ماند، در حالی که بالاتر از آستانه نرخ گسیل برانگیخته افزایش سریعی پیدا می کند و بر گسیل خود به خودی غالب می شود. به علاوه نرخ خطای بیت، BER، رابطه ای به شکل زیر با RIN دارد [۱۳] که بر اساس آن، تغییرات BER برحسب جریان تزریقی در شکل ۷ (ب) نشان داده شده است.



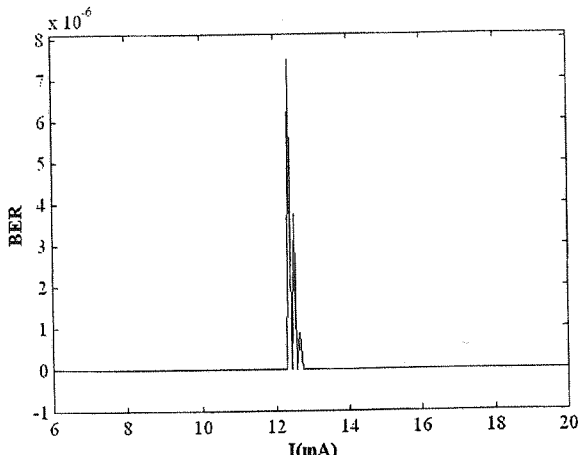
(c)

شکل (۶) طیف نویز شدت نسبی به ازای سه توان خروجی مختلف:  
الف)  $P_{out} = 0.5 \text{ mW}$ ، ب)  $P_{out} = 1 \text{ mW}$  و (ج)  $P_{out} = 2 \text{ mW}$

$$\text{BER} = \frac{1}{2} \operatorname{erfc} \left( \frac{1}{2\sqrt{2}} \frac{\text{RIN}^{1/2}}{\text{BER}} \right) \quad (۴)$$

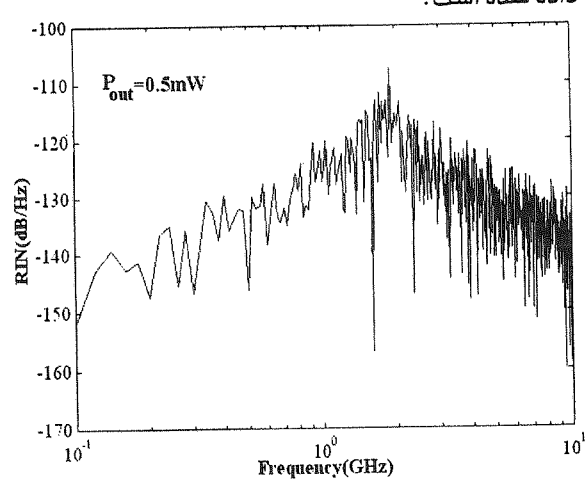


(الف)

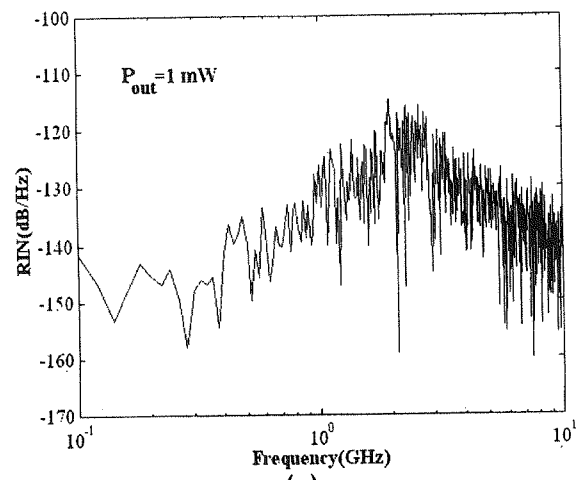


(ب)

شکل (۷) (الف) تغییرات نویز شدت نسبی برحسب جریان تزریقی و  
ب) تغییرات نرخ خطای بیت برحسب جریان تزریقی.



(الف)



(ب)

## ۵- نویز فاز

شکل خط یا طیف میدان، عبارت است از تبدیل فوریهٔ تابع خود همبستگی میدان، یعنی:

$$S_E(\omega) = \int_{-\infty}^{+\infty} \langle E^*(t + \tau) E(t) \rangle e^{-i\omega\tau} d\tau \quad (42)$$

که در آن  $E(t) = \sqrt{P(t)} e^{-i(\omega_0 t + \phi(t))}$  است. طیف میدان یا شکل خط به طور تحلیلی با روش خطی سازی به دست آمده است [۱۷]. محدودیت روش تحلیلی این است که از سهم نوسانات شدت در شکل خط صرفنظر می‌شود. مزیت روش عددی ارائه شده این است که مارا قادر می‌سازد که شکل خط را با لاحظ کردن اثر نوسانات شدت محاسبه کنیم. سادگی روش عددی برای محاسبهٔ شکل خط از آنجا ناشی می‌شود که ما را معادلات میدان الکتریکی برای انگرال‌گیری استفاده می‌کنیم. از رابطهٔ (۴۲) داریم:

$$S_E(\omega) = \left\langle \left| \int_{-\infty}^{+\infty} E(t) e^{-i\omega t} dt \right|^2 \right\rangle = \langle |E(\omega)|^2 \rangle \quad (42)$$

که در آن  $E(\omega)$  تبدیل فوریهٔ  $E(t)$  است.  
بنابراین برای محاسبهٔ طیف میدان از نتایج حل عددی، از رابطهٔ زیر بهره می‌گیریم:

$$S_E(\omega) = \frac{\left| \sum_n E(t_n) e^{-i\omega_n t_n} \Delta \right|^2}{T} = \frac{\Delta^2}{T} \left| \text{FFT}(E(t_n)) \right|^2 \quad (44)$$

یعنی مجذور قدر مطلق FFT میدان الکتریکی، شکل خط را به دست می‌دهد.

در شکل ۹ شکل خط لیزر به ازای جریان  $I=18\text{mA}$  نشان داده شده است. این طیف شامل یک قلهٔ مرکزی در فرکانس مدار ( $\omega_0$ ) و دو قلهٔ کناری است. قله‌های کناری از نوسانات واهلش ناشی می‌شوند و به طور تجربی نیز مشاهده شده‌اند [۱۶]. به منظور محاسبهٔ پهنای خط لیزر، برآشی به شکل لورنسی و به صورت حداقل مجذور انحرافات به شکل خط به دست آمده از حل عددی انجام می‌دهیم و با استفاده از آن پهنای خط را به دست می‌آوریم. این کار در شکل ۹ انجام شده است.

در شکل ۱۰ به منظور مقایسه، طیف میدان به ازای سه توان خروجی مختلف نشان داده شده است. همانطور که دیده می‌شود با افزایش توان لیزر، قلهٔ مرکزی باریک می‌شود و دامنهٔ قله‌های کناری کاهش می‌یابد. علت این امر این است که به ازای جریان‌های زیاد، گسیل برانگیخته کاملاً غالب است.

نوسانات کوانتومی مربوط به فرایند لیزش، هم برروی شدت و هم بر روی فاز میدان نوری اثر می‌گذارد. تغییر فاز به اندازهٔ  $\delta\phi(t)$  منجر به تغییر فرکانس به اندازهٔ  $d\delta\phi/dt = d\delta\omega/dt$  می‌شود. در حقیقت پهنای خط لیزر، نمودی از نوسانات فاز است. نویز فاز یا فرکانس در ارزیابی کارایی سیستم‌های مخابرات نوری همدوس نقش تعیین کننده‌ای دارد. دومکانیزم در نوسانات فاز دخالت دارند. اولاً، هرفوتوونی که به طور خوبه خودی گسیل می‌شود فاز نوری را به اندازهٔ مقداری تصادفی تغییر می‌دهد. ثانیاً، نوسانات جمعیت حامل‌ها نیز منجر به تغییر فاز می‌شود. از نظر فیزیکی این بدان علت است که تغییر  $N$  علاوه بر بهره نوری، بر ضریب شکست (یا بعبارتی طول مسیر نوری) نیز اثر می‌گذارد و در نتیجه روزی فاز مؤثر است [۱ و ۷]. همانطور که از رابطهٔ (۵) مشخص است پارامتر  $\beta$  بیانگر تناسب بین تغییرات بهره و ضریب شکست است.

**طیف نویز فرکانس**  
(Frequency Noise Spectrum≡FNS)  
می‌شود [۱۴]:

$$S_f(\omega) = \int_{-\infty}^{+\infty} \langle \delta\phi(t) \delta\phi(t + \tau) \rangle e^{-i\omega\tau} d\tau = \langle |\omega\delta\phi(\omega)|^2 \rangle \quad (40)$$

که در آن  $\delta\phi(\omega) = d\delta\phi/dt$  و  $\delta\phi(t) = \text{FFT}(\delta\phi(t_n))$  است. بنابراین مشابه آنچه که در مورد RIN بیان شد برای محاسبهٔ  $S_f(\omega)$  از نتایج حل عددی، از رابطهٔ ذیل استفاده می‌کنیم:

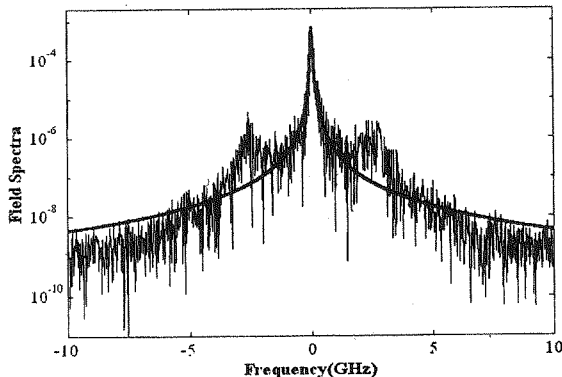
$$S_f(\omega) = \frac{\left| \sum_n \omega_n \delta\phi(t_n) e^{-i\omega_n t_n} \Delta \right|^2}{T} = \frac{\Delta^2 \omega^2}{T} \left| \text{FFT}(\delta\phi(t_n)) \right|^2 \quad (41)$$

شکل ۸ طیف نویز فرکانس به دست آمده از نتایج حل عددی را به ازای سه توان خروجی مختلف نشان می‌دهد. طیف نویز فرکانس برای فرکانس‌های خیلی کوچکتر از فرکانس نوسانات واهلش، نسبتاً تخت است و در فرکانس نوسانات واهلش به بیشترین مقدار خود می‌رسد. رفتار کیفی به ازای توان‌های خروجی مختلف، همانند نویز شدت است که در شکل ۶ نشان داده شد. این رفتار هم از روش تحلیلی و هم به طور تجربی مشاهده شده است [۱۵ و ۱۶].

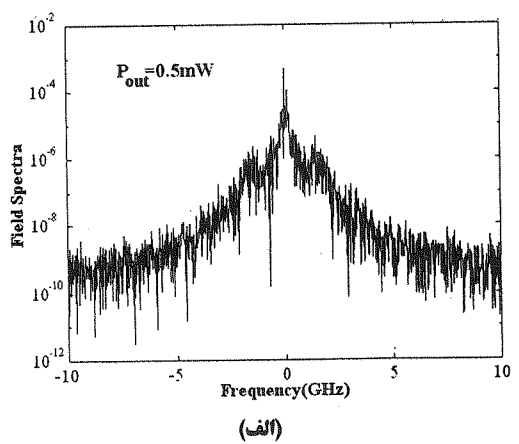
## ۶- شکل خط و پهنای خط

$$\Delta f = \frac{R_{sp}}{4\pi P} (1 + \beta_c^2) \quad (45)$$

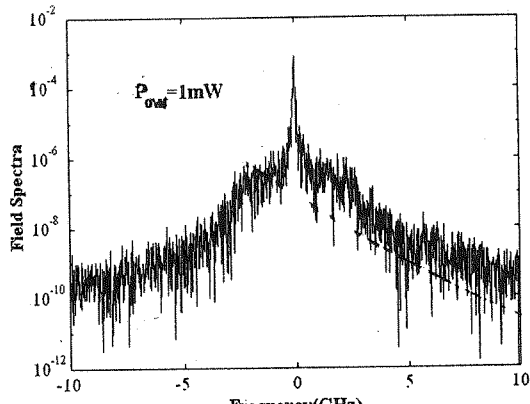
پهنهای خط به دست آمده از شبیه سازی عددی توافق خوبی با پهنهای خط به دست آمده از رابطه اخیر دارد. به عنوان نمونه به ازای جریان تزریقی ۱۲ میلی آمپر، پهنهای خط به دست آمده از رابطه فوق برابر با  $2MHz / 25$  و از شبیه سازی عددی برابر با  $1MHz / 25$  است.



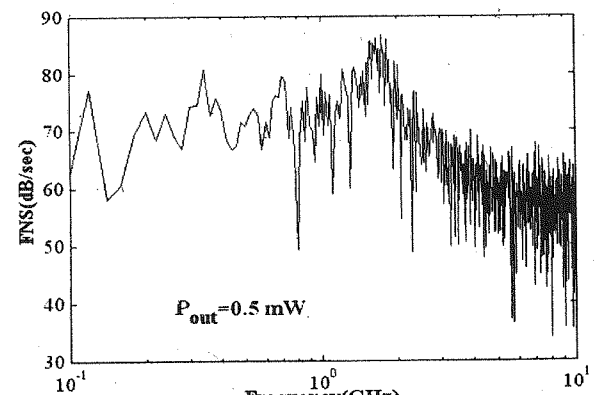
شکل (۹) طیف میدان یا شکل خط لیزر (ترسیم شده به مرکز صفر) به ازای جریان I=18mA. برآش به صورت لورنSSI نیز در شکل نشان داده شده است.



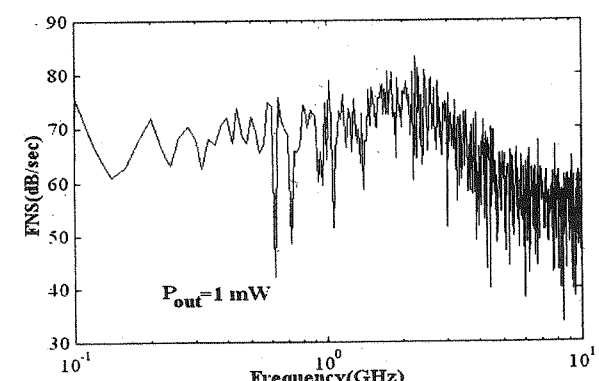
(الف)



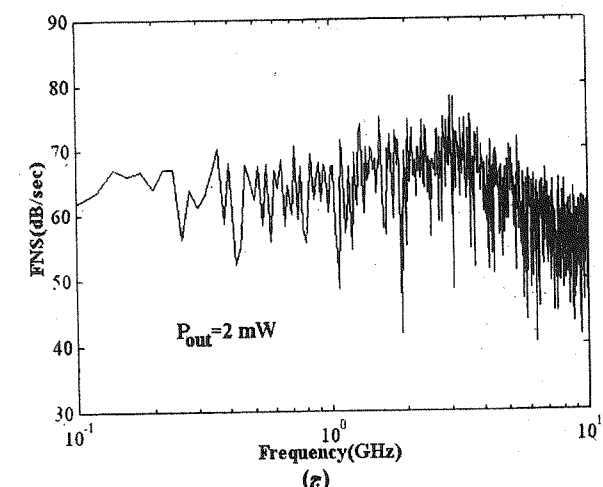
(ب)



(الف)



(ب)



(ج)

شکل (۸) طیف نویز فرکانس به ازای سه توان خروجی مختلف: (الف)  $P_{out}=2mW$  (ج) و  $P_{out}=1mW$  (ب) .  $P_{out}=0.5mW$

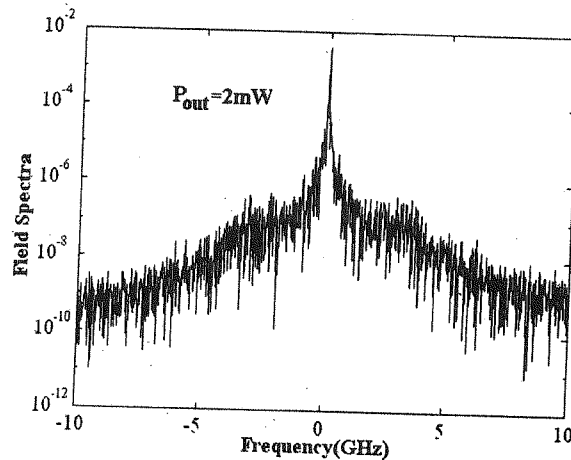
پهنهای خط، با پهنهای کامل در نیم بیشینه (Full Width at Half Maximum  $\equiv$  FWHM) تعریف می شود. فرمول تصحیح شده شاولو - تاونز (Schawlow - Townes) برای پهنهای خط لیزر نیمه هادی به شکل زیر است [۱] :

به دست آمد. به طور خلاصه نویز شدت در مجاورت آستانه لیزر بیشترین مقدار را دارد و با افزایش جریان اعمالی در بالای آستانه، به سرعت کاهش می‌یابد.

طیف نویز شدت دارای قله‌ای در فرکانس نوسانات و اهلش است. با افزایش جریان تزریقی یا توان خروجی لیزر مکان این قله به سمت فرکانس‌های بالاتر انتقال پیدا کرده، دامنه آن کاهش می‌یابد. نسبت سیگنال به نویز لیزر با افزایش توان لیزر بهبود می‌یابد و در نهایت به واسطه بهره غیر خطی اشباع می‌شود. به علاوه، نسبت سیگنال به نویز با افزایش نرخ گسیل خود به خودی کاهش می‌یابد.

در پایان ملاحظه شد که نویز فاز موجب پهن شدن طیف میدان لیزر می‌شود. به بیان دیگر پهنای خط لیزر ناشی از نویز فاز است. طیف نویز فاز از نظر کیفی رفتاری شبیه به نویز شدت دارد و در فرکانس نوسانات و اهلش، بیشینه می‌شود. با به دست آوردن طیف میدان دیده می‌شود که طیف از یک قله مرکزی غالب در فرکانس کارکرد لیزر و نیز قله‌های کناری که فاصله شان با قله مرکزی به اندازه فرکانس نوسانات و اهلش است، تشکلیل می‌شود. با افزایش توان لیزر، قله مرکزی باریک می‌شود و دامنه قله‌های کناری کاهش می‌یابد.

- [1] G. P. Agrawal and N. K. Dutta, *Semiconductor Lasers*, 2nd ed., New York: Van Nostrand Reinhold, 1993.
- [2] K. Petermann, *Laser Diode Modulation and Noise*, Dordrecht, The Netherlands: Kluwer Academic, 1988.
- [3] L. A. Coldren and S. W. Corzine, *Diode Lasers and Photonic Integrated Circuits*, New York: John Wiley & Sons, Inc., 1995.
- [4] G. Gray and R. Roy, "Noise in Nearly-Single-Mode Semiconductor Lasers," *Phys. Rev. A*, vol. 40, pp. 2452-2562. 1989.
- [5] G. P. Agrawal, "Spectral Hole-Burning and Gain Saturation in Semiconductor Lasers: Strong Signal Theory," *J. App. Phys.*, vol. 63, pp. 1232-1235, 1988.
- [6] G. P. Agrawal, "Effect of Gain and Index Nonlinearities on Single-Mode Dynamics in Semiconductor Lasers," *IEEE J. Quantum Electron.*, vol. 26, pp. 1901-1909, 1990.
- [7] M. Fukuda, *Optical Semiconductor Devices*, New York: John Wiley & Sons, Inc., 1999.
- [8] R. L. Burden and J. D. Faires, *Numerical Analysis*, 6th ed., Brooks/Cole publishing Company, 1997.
- [9] G. P. Agrawal, "Power Spectrum of Directly Modulated Single-Mode Semiconductor Lasers: Chirp-Induced Fine Structure," *IEEE J. Quantum Electron.*, vol. QE-21, pp. 680-686, 1985.
- [10] D. Marcuse, "Computer Simulation of Laser Photon Fluctuations: Theory of Single-Cavity



(ج)

شکل (۱۰) طیف میدان در سه توان خروجی مختلف:

. $P_{out}=2\text{mW}$  (ب) . $P_{out}=1\text{mW}$  (ج) . $P_{out}=0.5\text{mW}$

## ۸ نتیجه گیری

در این مقاله به منظور تجزیه و تحلیل رفتار لیزر نیمه هادی از نظر نویز، روشهای عددی برای حل معادلات نرخ لنج وین ارائه شد و مشخصه‌های مختلف نویز از نتایج حل

## مراجع

- Laser," *IEEE J. Quantum Electron.*, vol. QE-20, pp. 1139-1148, 1984.
- [11] G. P. Agrawal, "Effect of Nonlinear Gain on Intensity Noise in Single-Mode Semiconductor Lasers," *Electron. Lett.*, vol. 27, pp. 232-233, 1991.
- [12] Y. Yamamoto, S. Saito and T. Mukai, "AM and FM Quantum Noise in Semiconductor Lasers-Part II: Comparison of Theoretical and Experimental Results for AlGaAs Lasers," *IEEE J. Quantum Electron.*, vol. QE-19, pp. 47-58, 1983.
- [13] A. Yariv, *Optical Electronics*, 4th ed., Ch. 10, Saunders College publishing, Philadelphia, 1991.
- [14] K. Vahala and A. Yariv, "Semiclassical Theory of Noise in Semiconductor Lasers-Part I," *IEEE J. Quantum Electron.*, vol. QE-19, pp. 1096-1101, 1983.
- [15] K. Vahala and A. Yariv, "Semiclassical Theory of Noise in Semiconductor Lasers-Part II," *IEEE J. Quantum Electron.*, vol. QE-19, pp. 1102-1109, 1983.
- [16] B. Daino, P. Spano, M. Tamburini and S. Piazzolla, "Phase Noise and Spectral Line Shape in Semiconductor Lasers," *IEEE J. Quantum Electron.*, vol. QE-19, pp. 266-270, 1983.
- [17] C. H. Henry, "Phase Noise in Semiconductor Lasers," *J. Lightwave Technol.*, vol. LT-4, pp. 298-311, 1986.
- [۱۸] محمد کاظم مروج فرشی، عباس طریفکار و وجید احمدی، «تجزیه و تحلیل نویز شدت در لیزر نیمه هادی تک مد»، مجموعه مقایلات هشتمین کنفرانس مهندسی برق ایران، ج. اول، صص. ۱۳۷۸، ۲۲-۲۴.